

04,06

## Генерация электрических волн терагерцевых частот поступательным движением полярона в диэлектрической нанонити

© К.В. Городнов, З.П. Мастропас, Э.Н. Мясников

Южный федеральный университет,  
Ростов-на-Дону, Россия

E-mail: alhimik\_kg@mail.ru

(Поступила в Редакцию 1 июля 2013 г.)

Теоретически исследован квазиклассический случай движения локализованного электрического заряда в цилиндрической нанонити с учетом временной дисперсии диэлектрической проницаемости. К системе приложено сильное электрическое поле, что позволяет поддерживать скорость заряда постоянной. Проанализированы зависимости потенциала от времени для различных значений скорости заряда и приведено сравнение результатов, полученных численным и аналитическим методами. Получено соотношение, выражающее мощность, выделяемую системой при излучении фононов.

### 1. Введение

Фундаментальным, имманентным свойством любой диэлектрической среды является наличие в ней собственных поляризационных колебаний. Иными словами, диэлектрическая среда представляет собой систему осцилляторов электрического поля. Тогда воздействие на диэлектрик всякого внешнего электрического поля приводит к взаимодействию этого поля с упомянутыми выше осцилляциями.

Подобный эффект взаимодействия поля локализованного заряда со средой впервые был обнаружен при экспериментальном исследовании потерь энергии заряда, движущегося в диэлектрической пленке  $Al_2O_3$ , представляющей собой покрытие катодов в лампах с холодными катодами, и исследовано в работе Фейнмана и Торнберга [1]. Потери энергии, обнаруженные экспериментально, были весьма велики, что позволило сделать вывод о формировании вокруг движущегося заряда оболочки, создаваемой поляризационным зарядом среды. То есть было доказано, что носитель заряда находится в поляронном состоянии, а потеря энергии происходит за счет излучения фононов. Движение заряда с постоянной скоростью возможно, когда к среде приложено сильное внешнее электрическое поле (порядка  $10^6$  V/cm), которое компенсирует потери энергии, вызванные излучением фононов.

Проблема резонансного взаимодействия поля локализованного заряда с собственными поляризационными колебаниями изотропной диэлектрической среды представляется чрезвычайно важной, поскольку возникающие в результате осцилляции лежат в терагерцевом диапазоне частот. Существует целый ряд работ, посвященный данному эффекту, например [2,3] и другие. Одна из моделей генератора электрических волн терагерцевых частот была предложена нами в [4,5]. В настоящей работе продолжено теоретическое исследование, основы которого были заложены в упомянутых статьях. Здесь изложены результаты численного расчета зависимости потенциала,

генерируемого поляроном на поверхности нанонити, которые представляются значительно более точными по сравнению с [4,5]. Более высокая точность достигнута благодаря новому подходу к подсчету значений потенциала. Кроме того, здесь приводится аналитический вид зависимости потенциала от координаты и сравнение результатов численного и аналитического интегрирования, чего ранее сделано не было, а также произведен расчет мощности электрического поля, расходуемой на поддержание постоянной скорости полярона.

### 2. Генерация электрических волн локализованным зарядом

Пусть вдоль оси диэлектрической нанонити радиуса  $R$  движется локализованный заряд  $q$  со скоростью  $v$ , значительно превосходящей скорость распространения поляризационных колебаний в материале, из которого построена нанонить. Для описания движения заряда зададим декартову систему координат таким образом, чтобы ось  $Oz$  совпадала с осью нанонити и была сонаправлена с вектором скорости заряда, а оси  $Ox$  и  $Oy$ , следовательно, перпендикулярны последнему. Уравнение движения свободного заряда может быть записано как

$$\rho_0(\mathbf{r}, t) = q\delta(x)\delta(y)\delta(z - vt). \quad (1)$$

Диэлектрическая проницаемость среды, окружающей заряд, не является постоянной величиной. Она зависит от частоты действующего поля и волнового вектора  $\mathbf{k}$ . Известно [6,7], что зависимость диэлектрической проницаемости от  $\omega$  имеет вид

$$\epsilon = \epsilon_\infty \frac{\omega^2 - \omega_\parallel^2}{\omega^2 - \omega_\perp^2}. \quad (2)$$

Здесь  $\omega_\parallel$  и  $\omega_\perp$  — продольная и поперечная частоты поляризационных колебаний среды, а  $\epsilon_\infty$  — значение диэлектрической проницаемости на частотах  $\omega \ll \omega_\parallel, \omega_\perp$ .

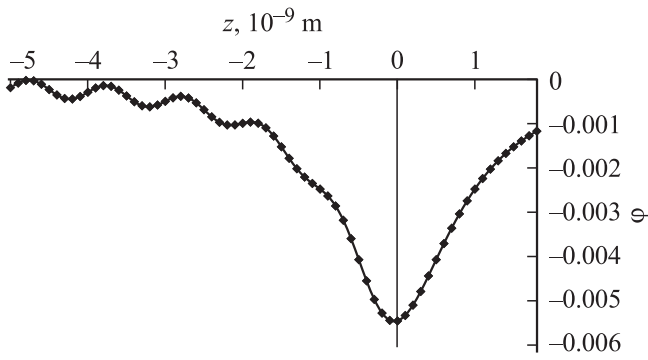


Рис. 1. Зависимость  $\varphi(z)$  при  $v = 10^3$  m/s.

Фурье-образ [8] функции (1)  $\rho_0(\mathbf{r}, t) \rightarrow \rho_0(\mathbf{k}, \omega)$  связан простым соотношением с плотностью заряда в диэлектрической среде  $\rho(\mathbf{k}, \omega) = \frac{\rho_0(\mathbf{k}, \omega)}{\varepsilon(\omega)}$ . Используя правила интегрирования  $\delta$ -функций, найдем  $\rho_0(\mathbf{k}, \omega)$  из соотношения (1)

$$\rho_0(\mathbf{k}, \omega) = 2\pi q \delta(\omega - k_z v). \quad (3)$$

Поделив равенство (3) на равенство (2), получим

$$\rho(\mathbf{k}, \omega) = \frac{1}{\varepsilon_\infty} 2\pi q \delta(\omega - k_z v). \quad (4)$$

Выражение (4) позволяет установить вид зависимости плотности заряда в среде от координат и времени путем обратного Фурье-преобразования. Интегрируя (4) по переменным  $\omega$  и  $k_z$  с использованием леммы Жордана [8], получим

$$\rho(\mathbf{r}, t) = \frac{q \delta(x) \delta(y)}{\varepsilon_\infty} \frac{\omega_\perp^2 - \omega_\parallel^2}{v \omega_\parallel} \sin \omega_\parallel \left( \frac{z}{v} - t \right). \quad (5)$$

Для момента времени  $t = 0$

$$\rho(\mathbf{r}, t) = \frac{q(\omega_\perp^2 - \omega_\parallel^2)}{v \varepsilon_\infty \omega_\parallel} \delta(x) \delta(y) \sin \left( \frac{\omega_\parallel}{v} z \right). \quad (6)$$

Потенциал связан с плотностью заряда соотношением

$$\varphi(z) = \int_{-\infty}^0 \frac{\rho(\mathbf{r}') d\mathbf{r}'}{4\pi \varepsilon_0 |\mathbf{r} - \mathbf{r}'|}. \quad (7)$$

Подставив в (7) правую часть уравнения (6), получим

$$\varphi(z) = \frac{q(\omega_\perp^2 - \omega_\parallel^2)}{4\pi \varepsilon_0 \varepsilon_\infty v \omega_\parallel} \int_{-\infty}^0 \frac{\sin \left( \frac{\omega_\parallel}{v} z' \right) dz'}{\sqrt{x^2 + y^2 + (z - z')^2}}. \quad (8)$$

При решении задачи на плоскости, перпендикулярной оси  $Ox$  (вполне естественно  $x = 0, y = R$ ), уравнение (8) примет вид

$$\varphi(z) = \frac{q \omega_\parallel (\omega_\parallel^2 - \omega_\perp^2)}{4\pi \varepsilon_0 \varepsilon_\infty v \omega_\parallel^2} \int_{-\infty}^0 \frac{\sin \left( \frac{\omega_\parallel}{v} z' \right) dz'}{\sqrt{R^2 + (z - z')^2}}. \quad (9)$$

Для построения графика зависимости  $\varphi(z)$  используем методы численного интегрирования. Для того чтобы выяснить характер зависимости потенциала от координаты, достаточно знать значения подынтегрального выражения в безразмерном виде, поскольку множитель  $\frac{q}{4\pi \varepsilon_0 \varepsilon_\infty (\omega_\parallel^2 - \omega_\perp^2)}$  — суть константа. А безразмерная постоянная  $\frac{\omega_\parallel^2}{\omega_\perp^2}$  является параметром среды. Поскольку из соотношения Лиддена–Сакса–Теллера  $\frac{\omega_\parallel^2}{\omega_\perp^2} \gg 1$  [7] напрямую следует, что  $\omega_\parallel^2$  значительно превосходит  $\omega_\perp^2$ , то величину  $\frac{\omega_\parallel^2 - \omega_\perp^2}{\omega_\parallel^2}$  можно положить равной 0.1. Таким образом,

заменяем  $\int_{-\infty}^0 \frac{\sin \left( \frac{\omega_\parallel}{v} z' \right) dz'}{\sqrt{R^2 + (z - z')^2}}$  на интегральную сумму, приводя предварительно все ее члены к безразмерному виду

$$f = 0.1 \sum_{i=1}^N \frac{\sin \left( \frac{\omega_\parallel}{v} z' \right) \frac{\omega_\parallel}{v} \Delta z'}{\sqrt{\left( R \frac{\omega_\parallel}{v} \right)^2 + \left( \frac{\omega_\parallel}{v} (z - z') \right)^2}}. \quad (10)$$

Каждое отдельное значение функции, стоящей под знаком суммы в (10), вычисляется для фиксированного  $z$  и изменяющегося  $z'$ . Для расчетов примем, в качестве начальных, следующие значения параметров:  $R = 1$  nm,  $v = 1000$  m/s,  $\omega_\parallel = 2\pi\nu$ , где  $\nu = 10^{12}$  Hz. В результате построения получим график, представленный на рис. 1.

Из графика с очевидностью следует, что локализованный заряд, находясь в процессе движения в точке с координатами  $(0, 0, 0)$ , должен генерировать позади себя колебания потенциала электрического поля, в то время как впереди колебаний не наблюдается и потенциал просто убывает.

### 3. Зависимость характера колебаний от скорости движения заряда

Большой интерес представляет влияние скорости движения заряда на характеристики генерируемых электрических волн: амплитуду и длину волны, поскольку это, с одной стороны, позволит выяснить значение энергии, расходуемое на генерацию волн, а с другой — установить, наблюдаются подобные колебания потенциала при любых скоростях или же существуют некоторые предельные значения (если модель верна, то, очевидно, такой границей будет скорость распространения поляризационных колебаний в среде) скорости заряда.

Построим график зависимости  $\varphi(z)$ , используя тот же алгоритм, но положив значение скорости  $v = 10^4$  m/s. Вид такого графика приведен на рис. 2.

Таким образом, становится очевидно, что с увеличением скорости длина волны и особенно амплитуда увеличиваются. Построим для большей наглядности графики зависимости  $\varphi(z)$  для скоростей  $v = 10^4$  m/s и  $v = 5 \cdot 10^4$  m/s в одной системе координат (рис. 3).

Данная модель предполагает наличие нижней границы эффекта. Действительно, пусть скорость принимает значение  $v = 300 \text{ m/s}$ . График представлен на рис. 4.

Следует отметить отдельно, что, по-видимому, существует и верхняя граница рассматриваемого эффекта. Построим график для  $v = 10^6 \text{ m/s}$  (рис. 5).

Очевидно, для данного значения скорости колебания не наблюдаются. Подведем краткий итог сказанному выше: локализованный заряд, двигаясь вдоль оси на-

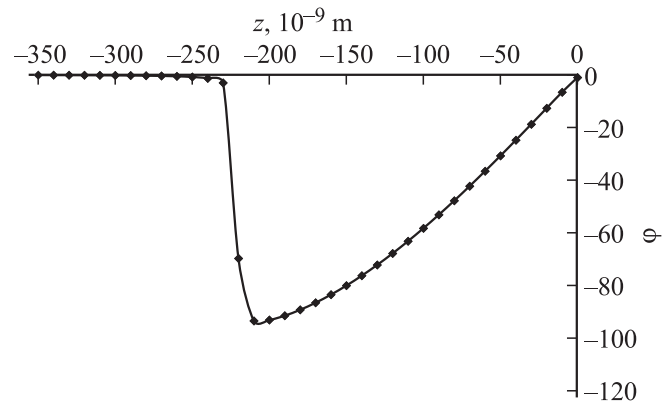


Рис. 5. Зависимость  $\varphi(z)$  при  $v = 10^6 \text{ m/s}$ .

нонити, должен генерировать электрические волны на ее поверхности. Вид колебаний зависит от скорости заряда — с увеличением скорости амплитуда и длина волны увеличиваются. У данного эффекта существуют верхняя и нижняя границы, накладываемые значением скорости.

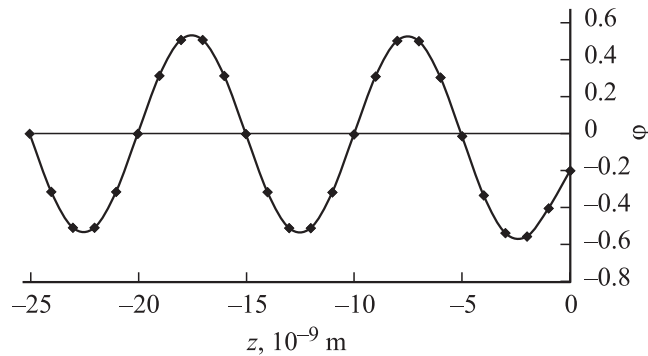


Рис. 2. Зависимость  $\varphi(z)$  при  $v = 10^4 \text{ m/s}$ .

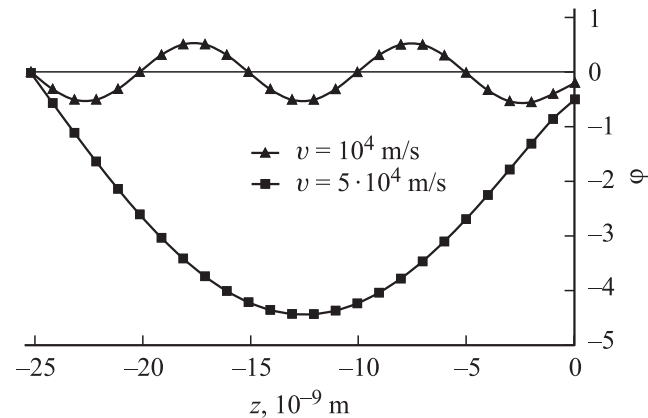


Рис. 3. Зависимость  $\varphi(z)$  при  $v = 10^4$  и  $5 \cdot 10^4 \text{ m/s}$ .

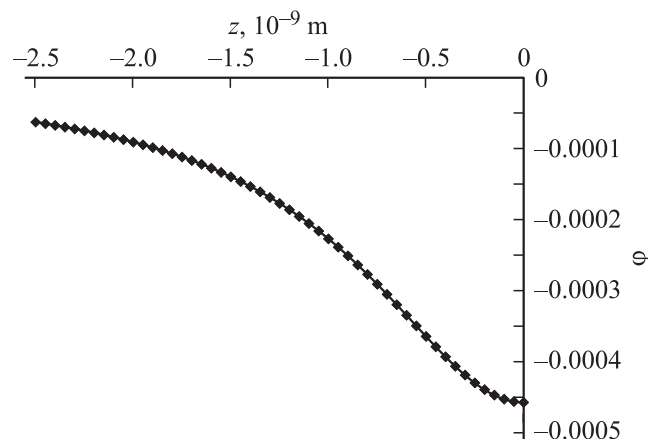


Рис. 4. Зависимость  $\varphi(z)$  при  $v = 3 \cdot 10^2 \text{ m/s}$ .

#### 4. Добавка от локализованного заряда

Помимо поляризационного заряда, за счет которого и возникают рассматриваемые осцилляции, свой вклад в суммарное значение потенциала вносит локализованный заряд. Добавка от локализованного заряда может быть получена довольно просто

$$\varphi'(z) = \frac{q}{4\pi\epsilon_0\epsilon_\infty} \int_0^\infty \frac{dz'}{\sqrt{R^2 + (z - z')^2}}. \quad (11)$$

Найти явный вид выражения (11) не представляет трудности

$$\varphi'(z) = \frac{q\omega_{\parallel}}{4\pi\epsilon_0\epsilon_\infty v} \frac{1}{\sqrt{R^2 + z^2}}. \quad (12)$$

Таким образом, для того чтобы найти вид потенциала с учетом локализованного заряда, необходимо сложить равенства (9) и (12). Заменяя интеграл в (9) на сумму, окончательно получим

$$\begin{aligned} \varphi + \varphi' = & \frac{q\omega_{\parallel}}{v4\pi\epsilon_0\epsilon_\infty} \left( \frac{1}{\sqrt{\left(R \frac{\omega_{\parallel}}{v}\right)^2 + \left(z \frac{\omega_{\parallel}}{v}\right)^2}} \right. \\ & \left. + \frac{\omega_{\parallel}^2 - \omega_{\perp}^2}{\omega_{\parallel}^2} \sum_{i=1}^N \frac{\sin\left(\frac{\omega_{\parallel}}{v} z'\right) \frac{\omega_{\parallel}}{v} \Delta z'}{\sqrt{\left(R \frac{\omega_{\parallel}}{v}\right)^2 + \left(\frac{\omega_{\parallel}}{v} (z - z')\right)^2}} \right). \end{aligned} \quad (13)$$

Выражение в скобках соотношения (13) вновь безразмерно. Можно построить график зависимости общего потенциала  $\varphi + \varphi'$  от координаты  $z$  (рис. 6).

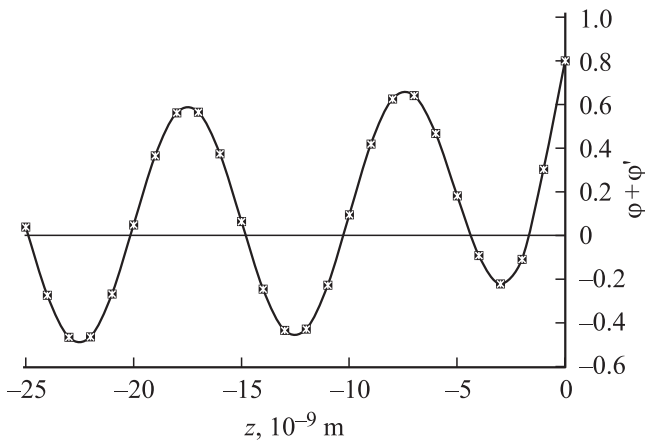


Рис. 6. Зависимость  $\varphi(z) + \varphi'(z)$  при  $v = 10^4$  m/s.

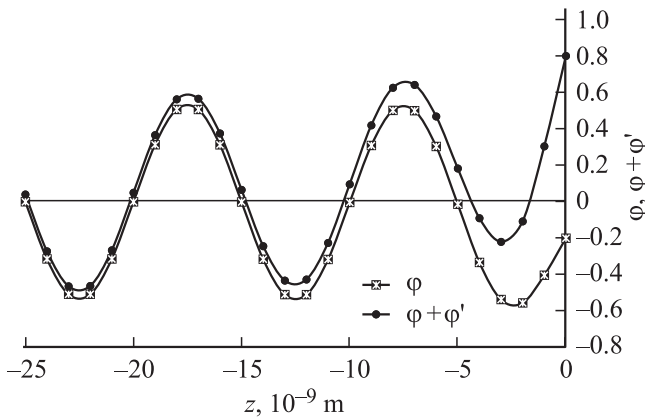


Рис. 7. Зависимость  $\varphi(z)$  и  $\varphi(z) + \varphi'(z)$  при  $v = 10^4$  m/s.

Поскольку добавка от локализованного заряда, как видно из графика, не влияет на колебательный характер потенциала, то эффект должен наблюдаться несмотря на эту добавку. Полезно сравнить вид кривых  $\varphi$  и  $\varphi + \varphi'$ . Это сделано на рис. 7. Колебания с учетом добавки и без нее фактически совпадают по фазе.

### 5. Явный вид зависимости потенциала от координаты

Задача нахождения явного вида интеграла в уравнении (9) не вполне тривиальна. Возникает ряд математических трудностей при использовании традиционных методов интегрирования, включая методы теории вычетов: при решении вычетов целочисленных порядков попросту не получается. Не приводят к окончательному результату ни замена переменной, ни интегрирование по частям, ни другие методы. Тем не менее, как будет показано ниже, эта задача может быть решена.

Запишем отдельно интеграл из уравнения (9)

$$\int_{-\infty}^0 \frac{\sin\left(\frac{\omega_{\parallel}}{v} z'\right) dz'}{\sqrt{R^2 + (z - z')^2}}. \quad (14)$$

Произведем замену переменной:  $n = z - z'$ , тогда  $z' = z - n$ , а  $dz' = -dn$ . Перепишем интеграл (14) с учетом этой замены

$$-\int_{-\infty}^0 \frac{\sin\left(\frac{\omega_{\parallel}}{v} (z - n)\right) dn}{\sqrt{R^2 + n^2}}. \quad (15)$$

Раскрывая скобки в аргументе синуса в (15), получим

$$\int_0^{\infty} \frac{\sin\left(\frac{\omega_{\parallel}}{v} z - \frac{\omega_{\parallel}}{v} n\right) dn}{\sqrt{R^2 + n^2}}. \quad (16)$$

Выражение (16) легко может быть представлено как

$$\sin\left(\frac{\omega_{\parallel}}{v} z\right) \int_0^{\infty} \frac{\cos\left(\frac{\omega_{\parallel}}{v} n\right) dn}{\sqrt{R^2 + n^2}} - \cos\left(\frac{\omega_{\parallel}}{v} z\right) \int_0^{\infty} \frac{\sin\left(\frac{\omega_{\parallel}}{v} n\right) dn}{\sqrt{R^2 + n^2}}. \quad (17)$$

Вид интегралов в (17) схож с (14), но не тождественен ему — в подкоренном выражении отсутствует квадрат разности. Результат интегрирования в обоих случаях выражения (17) известен [9]

$$\int_0^{\infty} \frac{\cos(xy) dx}{\sqrt{x^2 + \alpha^2}} = K_0(\alpha y), \quad (I)$$

$$\int_0^{\infty} \frac{\sin(xy) dx}{\sqrt{x^2 + \alpha^2}} = \frac{\pi}{2} [I_0(\alpha y) - L_0(\alpha y)]. \quad (II)$$

Здесь  $I_0$  и  $K_0$  — модифицированные функции Бесселя первого и третьего рода соответственно, а  $L_0$  — модифицированная функция Струве. Надо заметить, что на переменные в (I) и (II) накладываются ограничения  $\text{Re } \alpha > 0$  и  $y > 0$ , которые в нашем случае естественным образом удовлетворяются. Соотнося параметры из (I), (II) и (17), окончательно получим

$$\int_{-\infty}^0 \frac{\sin\left(\frac{\omega_{\parallel}}{v} z'\right) dz'}{\sqrt{R^2 + (z - z')^2}} = \sin\left(\frac{\omega_{\parallel}}{v} z\right) K_0\left(\frac{\omega_{\parallel}}{v} R\right) - \frac{\pi}{2} \cos\left(\frac{\omega_{\parallel}}{v} z\right) \left[ I_0\left(\frac{\omega_{\parallel}}{v} R\right) - L_0\left(\frac{\omega_{\parallel}}{v} R\right) \right]. \quad (18)$$

Значения функций  $I_0$ ,  $K_0$  и  $L_0$  для некоторых значений аргумента рассчитаны в [10].

Построим график зависимости  $\varphi(z)$ , используя равенство (18) с учетом коэффициента  $\frac{\omega_{\parallel}^2 - \omega_{\perp}^2}{\omega_{\parallel}^2} = 0.1$ . Скорость будем полагать равной  $v = 2\pi \cdot 10^3$  m/s. Такое

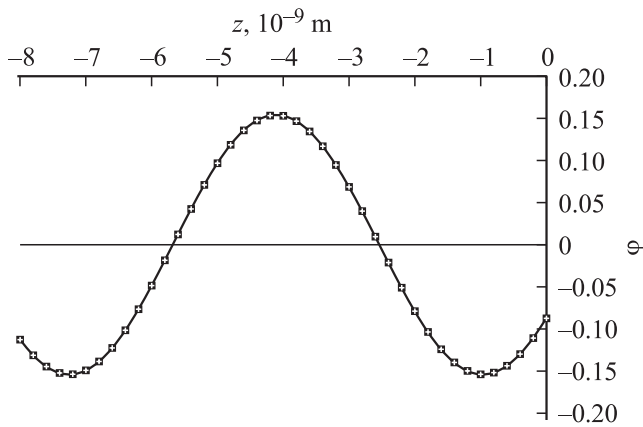


Рис. 8. Зависимость  $\varphi(z)$ , полученная путем аналитического интегрирования при  $v = 2\pi \cdot 10^3$  m/s.

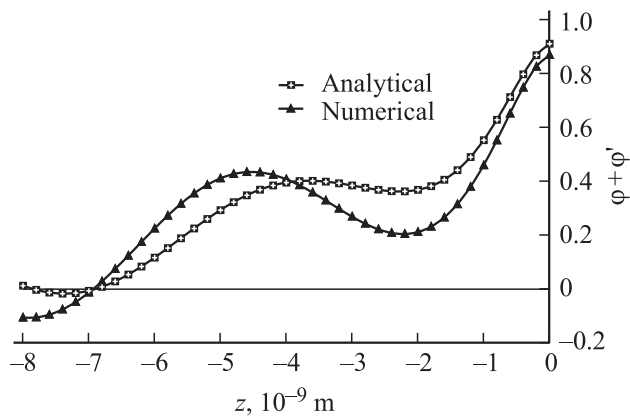


Рис. 9. Зависимости  $\varphi(z) + \varphi'(z)$ , полученные путем численного и аналитического интегрирования при  $v = 2\pi \cdot 10^3$  m/s.

„странное“ значение скорости выбрано исключительно с целью получить единицу в качестве аргумента функций  $I_0$ ,  $K_0$  и  $L_0$ , поскольку величины этих функций для данного аргумента известны [10].

На рис. 8 представлен вид функции (18). Ее осциллирующий характер вполне очевиден, но особый интерес, конечно, представляет сравнение вида потенциала, полученного в результате аналитического интегрирования, с тем, что дает численный расчет. Построим в одних осях координат эти две функции для значения скорости  $v = 2\pi \cdot 10^3$  m/s. Для полноты картины учтем вклад, вносимый локализованным зарядом (рис. 9). На рис. 9 видно некоторое расхождение в фазе колебаний и амплитуде, однако в целом можно утверждать, что оба метода дают схожие результаты.

### 6. Расчет мощности, выделяемой при движении полярона

Нахождение мощности, которая выделяется при равномерном движении локализованного заряда в нанонити,

представляется крайне важной задачей, поскольку это позволит установить значение мощности электрического поля, необходимое для поддержания постоянной скорости полярона. Кроме того, выделяемая мощность при таком движении может быть установлена в эксперименте, что позволит эмпирически проверить предложенную модель.

Напряженность электрического поля можно найти как  $E = -\text{grad } \varphi$ . Применяя этот закон к (9), получим

$$E = -\frac{q\omega_{\parallel}}{4\pi\epsilon_0\epsilon_{\infty}v} \frac{(\omega_{\parallel}^2 - \omega_{\perp}^2)}{\omega_{\parallel}^2} \int_{-\infty}^0 \frac{(z - z') \sin\left(\frac{\omega_{\parallel}}{v} z'\right) dz}{\sqrt{(R^2 + (z - z')^2)^3}}. \tag{19}$$

Сила, действующая со стороны электрического поля на поляризационный заряд со стороны локализованного, есть произведение напряженности поля локализованного заряда на поляризационный заряд. Следует заметить, что поляризационный заряд равен по величине локализованному, т.е.  $F = qE$ . Используя (19), в явном виде запишем

$$F = -\frac{q^2\omega_{\parallel}}{4\pi\epsilon_0\epsilon_{\infty}v} \frac{(\omega_{\parallel}^2 - \omega_{\perp}^2)}{\omega_{\parallel}^2} \int_{-\infty}^0 \frac{(z - z') \sin\left(\frac{\omega_{\parallel}}{v} z'\right) dz}{\sqrt{(R^2 + (z - z')^2)^3}}. \tag{20}$$

Для того чтобы найти мощность, теперь достаточно умножить (20) на скорость заряда

$$P = -\frac{q^2\omega_{\parallel}}{4\pi\epsilon_0\epsilon_{\infty}} \frac{(\omega_{\parallel}^2 - \omega_{\perp}^2)}{\omega_{\parallel}^2} \int_{-\infty}^0 \frac{(z - z') \sin\left(\frac{\omega_{\parallel}}{v} z'\right) dz}{\sqrt{(R^2 + (z - z')^2)^3}}. \tag{21}$$

Подставляя, с учетом того, что заряд находится в точке  $(0, 0, 0)$ , в формулу (21) величины:  $q = 1.6 \cdot 10^{-19}$  C,  $\epsilon_0 = 8.85 \cdot 10^{-12}$  F/m,  $\epsilon_{\infty} = 10$ , а скорость полагая  $v = 10^3$  m/s, легко получить значение мощности  $P = 0.3$  MeV/s.

### 7. Заключение

Предложенное в настоящей работе теоретическое исследование показывает, что локализованный заряд, двигаясь поступательно вдоль оси диэлектрической нанонити, должен генерировать колебания потенциала. Построенные по уравнениям (10) и (13) графики демонстрируют, что амплитуда и длина волны таких электрических волн увеличиваются с ростом скорости заряда. Полученные численными методами результаты в целом коррелируют с установленной в работе аналитической зависимостью (17). Используя уравнение (9) и общеизвестные соотношения между потенциалом, напряженностью, силой и мощностью, получено равенство (21), которое позволяет вычислить мощность, выделяемую при движении локализованного заряда с постоянной скоростью.

## Список литературы

- [1] K.K. Thornber, R.P. Feynman. Phys. Rev. B **1**, 4099 (1970).
- [2] Э.Н. Мясников, А.Э. Мясникова, З.П. Мастропас. ЖЭТФ **129**, 3, 548 (2006).
- [3] Э.Н. Мясников, З.П. Мастропас. ФТТ **51**, 966 (2009).
- [4] К.В. Городнов. Сб. науч. тр. по матер. Междунар. науч.-практ. конф. „Перспективные инновации в науке, образовании, производстве и транспорте“ **8**, 56 (2011).
- [5] К.В. Городнов. Тр. VII Всерос. науч. конф. молодых ученых и студентов „Современное состояние и приоритеты развития фундаментальных наук в регионах“ **2**, 24 (2010).
- [6] А.С. Давыдов. Теория твердого тела. Наука, М. (1976). 640 с.
- [7] А.С. Давыдов, Э.Н. Мясников. ДАН СССР **173**, 1040 (1967).
- [8] А.Г. Свешников, А.Н. Тихонов. Теория функции комплексной переменной. Наука, М. (1979). 320 с.
- [9] Г. Бэйтмен, А. Эрдейн. Таблицы интегральных преобразований. Т. 1. Наука, М. (1969). 344 с.
- [10] Справочник по специальным функциям с формулами, графиками и математическими таблицами / Под ред. М. Абрамовица и И. Стиган. Наука, М. (1979). 832 с.